

자기공명(M.R.)진단법의 특징 및 그 영상기전의 이해

영남대학교 의과대학 진단영상진단학과교신
장재천·황미수·김선용

서 론

1896년 Roentgen에 의하여 X-선이 발견된 이후 거의 1백여 년을 이르기까지 들리는 소리와 겹쳐진 빛깔과에 의한 필드면 영상인 CT Scan의 발달은 방사선 의학계에 있어 작은 혁명이었다고 말할 수 있었으며 실제 초음파 검사와 CT Scan은 이미 진단의학 분야에서 많이 받아들여지고 있다. 아울러, 1972년 Lauterbur가 양자 정보와 Spin-Lattice 이원시기를 이용하여 Phantom의 이차원적 자기공명 영상은 연구 이래, 조직을 구성하는 원자들의 질자핵 자기장 하에서 회전축에 의해 Electromagnetic energy의 흡수와 방출은 이용된 정도에 의하여 영상을 구성하게 되는 자기공명 영상은 거의 방사선학에 이용한 Roentgen 이래 가장 큰 혁명이라고 하지 않을 수 없다.

자기공명 진단술의 의학적 의미는 종래의 CT나 초음파 검사만이 갖지 못한 질자핵의 질화현상 관찰하는 방법에 비하여 자기공명 진단술은 그보다 한 단계 높은 질자핵의 질화현상 관찰을 할 수 있는 것이다. 즉 CT나 초음파 검사는 방사선 흡수계수 혹은 음파의 진동 정도의 차이에 의한 기본 필드면적 변화를 관찰하는 방법이라면 자기공명 진단술은 Spin density T₁, T₂(이하 본문에서 기술)를 이용하여 CT나 초음파 검사보다 한단계 더 높은 질자핵의 질화현상 변화를 알아내는 것이다. 자기공명 진단술은 이제 자기공명은 이용한 자기공명 영상법(Magnetic Resonance Image : MRI) 분야와 자기공명 분광법(Magnetic Resonance Spectroscopy : MRS) 분야로 나눌 수 있으며 본문에서는 이 지점을 이용해서 질자핵이 어느 질자핵 특성을 갖는지 알 수 있게 되었다. 특히 자기공명 분광법분야에서 매우 중요한 것으로만 일체 대부분 해결하는 것이 아니라 한

계로 발전하여 병변의 정도를 파악함으로써 자기공명 진단술을 더욱 꽃피울 수 있는 질자핵 진단법이라고 하였다.

우리나라에서도 이미 1982년 한국과학기술원에서 개발한 0.1 Tesla 질자핵 저항성(Resistive Type Magnet)을 이용한 자기공명 영상 진단 기기 개발이 몇몇 종합병원에서 다들레프 임상전담의 만화가 이루어져 있으며, 또한 1985년 한국과학기술원에서 2.0 Tesla 초전도 자석(Superconductive Magnet)을 이용한 자기공명 분광법이 가능한 MR 스캐너의 개발에 성공함으로써 활발한 임상적 연구가 진행중에 있고 이미 고자기 스캐너를 위한 질자핵 영상과 관련 모두 부분적 임상적 적용된 것으로 생각된다.

최근 방사선과를 포함한 여러 임상과의 발전 의도 때문에 자기공명 진단의 관련 병은 그 수가 늘어 오고 있으나 그 영상 기전이 종래의 영상 진단과는 다르므로 MRI에 종사하는 사람이나 이해하기에는 다소 어려운 문법학적 수학적 기본 지식이 필요한 방사선 임상전담의 중요한 이해에 다소의 문제가 있어 왔다. 이에 저자 등은 문법학자나 외공학자의 도움이 아니라 임상전담의 입장에서 다들레프 자기공명 영상학 특성과 그 영상기전을 분석함으로써 저자 알아 보려다래 자기공명 진단술의 이해에 도움이 되었으면 한다.

본 론

1. 기본 물리

1) 원자핵의 자기적 특성

① 원자핵의 자화

원자의 전량수의 원자번호를 갖는 원자핵(원, 질, 양성, 중성, 핵Na, 철, 동, 등)은 스핀으로 회전하는 보류의(Inherent) Spin을 가지며 보류 Spin을 가진 원자핵은 보류의 양극을 가지며 보류의 회전축

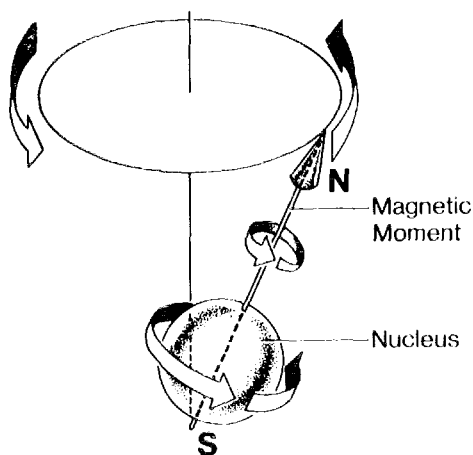


Fig. 1. Nuclear magnetic Moments, Spinning and Precession.

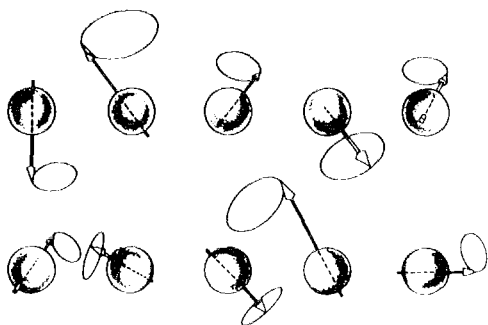


Fig. 2. Absence of an external magnetic fields.

방향으로 자기(Magnet)가 형성될때 이것을 Magnetic moment 라고 한다. (Fig. 1)

인체내에서 자기역량(Magnetic property)을 가지고 있는 원자핵들중 ^1H 이 생체내에서 가장 풍부하고 강한 자기공명 감수성(MR sensitivity)을 가지고 있으므로 현재 자기공명 진단술에 가장 많이 사용된다. 이들 원자핵은 외부 자장이 없는 상태에서는 자전축(Spin Axis)이 제멋대로 배열되어 있어 Magnetic Moment의 총계(Sum)는 영(Zero)이 되고 이것을 평균자화(Netmagnetization)가 영(Zero)라고 이야기 한다. (Fig. 2) 그러나 이 상태에 일단 외부 자장이 가해지면 원자핵들은 외부자장의 방향과 거의 평행으로 정렬하면서 핵자체의 자전운동인 Spin운동과 아울러 자전축을 축으로 자전축 주위를 회전하는 세차운동(Precession)을 하게 된다. 이 운동은 마치 흔들렸던 벵이가 쓰러지지 직전

에 기울어지지 않고있는 모양과 흡사하다고 할 수 있다. (Fig. 1) 이 세차운동의 회전속도(Precessional Frequency)를 ω 로 표시하고 공명 혹은 라야모이 주파수(Resonance or Larmor frequency)라고 하는데 이 회전속도는 원자핵의 종류에 따라 각각 다르며 같은 종류의 원자핵은 같은 회전속도를 가지나 외부자장의 강도에 비례하여 변화하고 그 공식은 아래와 같다.

$$\omega = \gamma B_0$$

B_0 : Strength of Applied Magnetic Field.

γ : Gyromagnetic Constant

(Unique for Each Nucleus)

예를들어 수소원자핵(양자)의 공명 주파수는 0.15 Tesla의 자장하에서는 약 6.4 MHz이며 2.0 Tesla 하에서는 약 85.2 MHz이다.

아울러 외부자장하에서 핵들은 서로 대립되던 등 가지 방향으로 정렬하게 되는데 낮은 에너지 상태의 원자핵들은 외부자장에 평행(Parallel)하게 배열되고 높은 에너지 상태의 원자핵들은 외부자장에 대하여 반평행(Antiparallel)하게 배열된다. 이때 외부

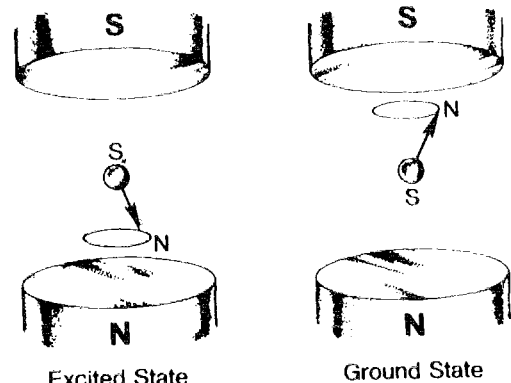


Fig. 3. In a magnetic fields.

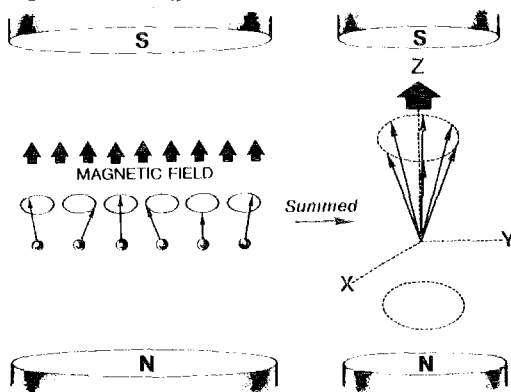


Fig. 4. Ground state.

자장에 평행으로 배열되는 것들을 기저상태(Ground state)라고 하고 비평행으로 배열되는 것들을 여기 상태(Excited state)라고 한다.(Fig. 3) 일반적인 체온에서는 두 부분의 원자핵중 낮은 에너지의 핵들이 높은 에너지의 핵들보다 조금 많아 외부자장 하에서의 평균자화(Net Magnetization)는 수직방향(자장방향: Z축)으로 형성되게 된다.(Fig. 4)

(2) 원자핵의 여기—MR signal—이완

① 여기

외부자장 하에서 지화상태에 있는 원자핵에 특정한 주파수(Frequency)의 고주파(Radiofrequency)를 가하면 낮은 에너지 상태의 원자핵(상온에서는 높은 에너지보다 더잉)의 일부가 고주파 에너지를 흡수하여 높은 에너지 상태로 여기(Excite) 되는데 이것을 공명(Resonance) 현상이라고 한다. 이때 사용되는 고주파의 주파수는 공명시킴과 같은 원자핵의 세자운동의 회전속도에 일치하는 주파수로써 진술한 디모어 주파수를 사용한다.

고주파로 여기시키면 최초에 자장 방향으로 배열되었던 평균 자화값 일부 낮은 에너지 상태의 원자핵이 높은 에너지 상태로 전환됨에 따라 Y축 방향으로 그 방향을 바꾸게 된다.(Fig. 5)

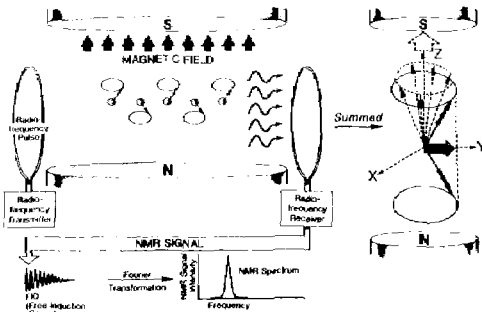


Fig. 5. Excitation and NMR signals.

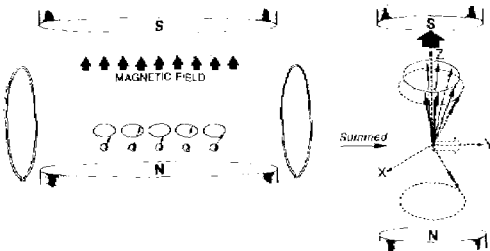


Fig. 6. After relaxation.

이때 고주파를 가하는 시간(Duration)에 따라 Z축에 대하여 90° 방향(Y축) 혹은 180° 방향(-Z축) 등으로 평균자화의 방향을 변화시킬 수 있는데 자기공명 진단에서는 90° 방향을 흔히 이용하고 있다.

② MR Signal—이완

Y축 방향으로 평균자화가 이동하면 Fig.5에서 보듯이 고주파의 Signal이 Receiving coil에 나타나게 되는데 이때 갑자기 고주파를 차단하면 높은 에너지의 원자핵들은 흡수했던 고주파 에너지를 다시 방출하면서 원래의 낮은 에너지 상태로 돌아가는 과정을 취하게 되고 Y축 방향으로 형성되었던 평균자화는 다시 Z축 방향으로 향하게 된다.(Fig. 6)이라고 하고 따라서 Y축에서 검출되는 signal의 강도는 시간이 경과함에 따라 점점 줄어들게 되는데 이것을 자유 유도 감쇠(Free Induction Decay: F.I.D.)라고 한다. 이 F. I. D. 즉 시자의 변화에 따른 signal의 강도의 감소 현상을 Fourier Transformation이라는 수학적 과정을 통하여 주파수(Frequency)에 대한 신호강도(Signal intensity)로 바꾸어 자기공명 신호(MR signal)로 이용하게

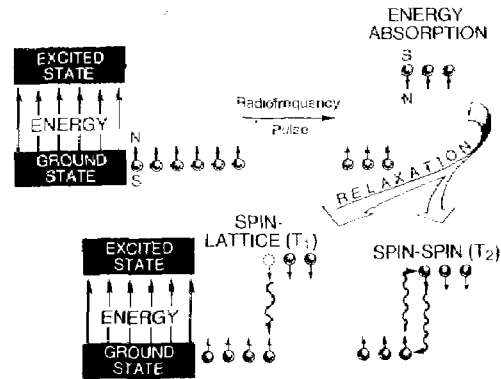


Fig. 7. Molecular basis of relaxation.

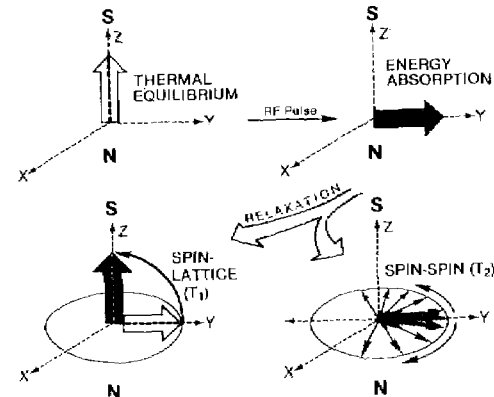


Fig. 8. Longitudinal (T1) and Transverse (T2) relaxation.

되는 것이다. 다시 한번 설명하면 고주파에 의하여 야기된 원자핵들은 고주파를 차단함으로써 에너지를 잃게 되고 에너지를 잃으면서 MR signal을 발생시키고 원래 자기 자기장의 방향으로부터 평균 자회각 이동하게 되면 MR signal도 사라진다. 이와 같은 과정을 이완(Relaxation)이라고 하고 이 이완은 Spin-Lattice Relaxation과 Spin-Spin Relaxation의 두가지 과정(Process)을 거치게 되는데 Spin-Lattice Relaxation이란 90° 고주파 펄스를 쬐은 직후 Lattice라 칭하는 주위 분자에 90° 고주파 펄스에 의해 쬐긴 에너지를 피관하고 원래의 자회각 상태로 되돌아 감으로써 원래 자장방향으로 복귀하는 것으로 이것을 T₁ Relaxation이라고도 하고 Spin-Spin Relaxation이라고도 하는데 다음의 MR parameter에서 더 상세히 설명하고자 하겠다. (Fig. 7, Fig. 8)

2) M. R. Parameter

자기공명 진단술은 90° 고주파 펄스를 쬐은후 Y축의 Receiving Coil에서 포착되는 Signal의 변화를 일정치라한 것이므로 이 Signal의 크기에 변화에 영향을 미치는 것들이 MR Parameter가 되는데 그것을 주로 설명하는 핵의 양과 이완의 형태에 관계되므로 Spin density, T₁ Relaxation, T₂ Relaxation에 따라 Y축에서 검출되는 Signal의 크기와 형태가 변하게 되고 이것이 MR parameter가 되는 것이다. 그러므로 여기에는 이와 약간의 다른 Chemical shift를 이용한 자기공명 영상도 아울러 말하고자 한다. 이중 CT와 영상 지도인 X-선 흡수계수에 영향을 미치는 것은 Spin density(electron density) 뿐인데 따라서 자기공명 영상은 정해진 4가지 값의 성분인지 특성을 이용하여 영상화 할 수 있으므로 자기공명 영상은 CT보다 더 많은 조직 회색차 특성에 대한 정보를 얻을

수 있는 것이란이 될 수 있다 하겠다. (Table 1)

(1) Spin density

Electron density라고도 이야기하며 E.L.D.의 정복은 Spin 핵의 밀도에 비례한다. 여기서 밀도라는 것은 동일상태에 있는 단위 용적당 동종(포진 대상 핵) 즉 예를 들어 ¹H의 핵의 양 또는 단위 용적당 동원 라모어 수와수한 가진 핵의 양을 의미하는데 많은 핵종이 자회에 포함되어있어 각각에 진단핵의 수가 증가하면 자회도 증가한다고 진수할 수 있다.

(2) T₁ 이완(T₁ Relaxation)

90° 고주파 펄스를 발사하면 평균 자회각 Y축을 향하여 90° 회전하게 되는데 이때의 원자핵들은 회전축도 (Frequency)와 회전의 위상(Phase)이 모두 같다. 이것을 Coherence 혹은 In Phase 상태라고 한다. 이와 같이 Coherence 또는 In Phase 상태에 있을때 방출되는 에너지 진동기 가장 크다. 그러나 시간이 지남에 따라 In Phase 상태의 원자핵들은 외부자장(H자장)에 자장의 불균일성과 원자핵의 상호작용에 의한 불조조정이 가세되어 H자장보다 강한 자장내에 들어 온 핵들은 라모어 수와수도 제차되는 것으로서 방향의 Vector(M Vector) 보다 빨리 제차하게 되고 H자장보다 약한 자장에 들어 온 핵들은 M Vector보다 늦게 제차하게 된다. 따라서 라모어 수와수보다 빠른 쌍극자(원자핵)와 느린 쌍극자(원자핵)는 Y축에 대하여 서로 반대방향으로 회전하게 되고 α (Fig. 8) 크 회전축도를 빠르게 회전 정도에 따라 잘리게 빠르거나 느릴것은 빠르게, 약하게 빠르거나 느릴것은 느리게 회전하여 점차 Coherence를 잃고 Dephase 혹은 Fan Out 상태가 된다. 이렇게 원자핵들이 Dephasing하면서 방출되는 에너지 진동은 급속히 감소하게 되는데 이것이 저출한 자유 유도 감에(F.L.D)이다. 이와같이 X-Y 평면상에서 E.L.D.에 의한 에너지 감소로 평행에 나타난 것은 Spin Spin

Table 1. N. M. R. Parameter.

	Terms	Meanings	Units
ρ	Spin density	Number of nuclear signals per units volume	moles/m ³
T1	Spin lattice relaxation time	Time for nuclear magnets to return to original alignment with applied M. fields	msec
T2	Spin spin relaxation time	Time for nuclear magnets to lose their phase coherence	msec
δ	Chemical shift	Variation in observed resonance frequency of nuclear magnets in diff. environment	ppm or Hz

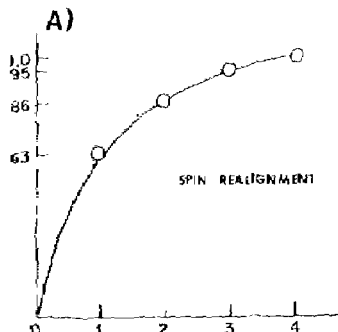
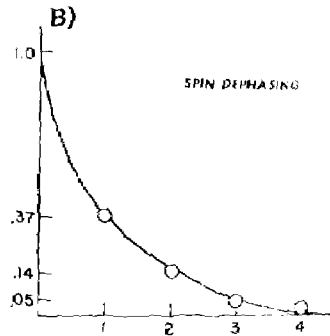


Fig. 9. A ; Definition of T1.

Relaxation, T_2 -Relaxation 혹은 횡방향(Transverse Relaxation)이라고 하고 T_2 이완시간(T_2 Relaxation time)은 약하여 T_2 라고도 하는데 XY 평면의 평균 자화가 Dephasing에 의하여 처음의 37%로 감소하는데 걸리는 시간으로 정의된다(Fig. 9 B) 이 T_2 의 값은 Table 2에서 볼 수 있듯이 체내 조직의 종류에 따라 각각 다르기 때문에 이것이 MR Parameter로 작용할 수 있는 것이다. 그러나 T_2 의 값은 외부 자장의 세기에 크게 영향을 받지 않고 외부자장의 크기가 바뀌더라도 비교적 일정하다고 한다.

(3) T_1 이완(T_1 Relaxation)

T_1 이외의 다른 고주파 펄스를 쬐은 직후 Y축에서 Coherence 상태에 있던 원자핵들이 Dephasing되는 과정(T_2 Relaxation)을 거치면서 원자핵들이 원래 상태인 자장 방향(Z방향)으로 재배열되는 것을 말하는데(Fig. 8) 그 기간을 다시 설명하면 자장 방향 평행 상태에서는 핵의 방향 Spin(적에너지)군이 하향 Spin(에너지)군보다 약 1,000,000 중 1이 많



B ; Definition of T2.

은데 이외의 다른 방향 Spin내의 과잉핵들은 H자장에 대하여 평행인 평균 자화를 유도한다. 여기에 90° 고주파 펄스를 주면 적에너지 상태의 과잉핵중 1/2이 에너지를 흡수하고 고에너지 상태로 되어 올라가 능력이 되면 H자장 방향(Z축)의 자화 성분은 없어지고 평균 자화는 Y축을 따라 행하게 된다. 이때 고주파를 쬐으면 고에너지로 들었던 핵들은 Lattice와 정하는 주위 구조의 에너지로 전달하고 적에너지 상태로 되돌아가면서(Fig. 7) H자장 방향(Z축)으로 자화가 복귀하게 되는데 이러한 과정을 Spin-Lattice Relaxation, T_1 -Relaxation 혹은 종방향(Longitudinal Relaxation)이라고 한다. 고주파 펄스 차단후 시간이 경과함에 따라 Z방향으로 재자화 되면서 Z방향으로의 평균 자화는 점점 커지는데 고주파 방사선 Z 방향으로도 평균 자화의 63%가 Z방향으로 형성된때까지 걸리는 시간을 T_1 이완시간(T_1 Relaxation Time)이라고 정의하고 약하여 T_1 이라고 한다.(Fig. 9-A) 이것 역시 조직에 따라 특이하게 나타나며(Table 2) T_1 은 외부자장의 크기에 큰 영향이 없으나 T_1 은 외부자장의 강도가 높아지면 T_1 도 길어지게 된다. 일반적으로 90° 고주파 펄스후 모든 핵들이 평행 분포로 되돌아가기전에 핵들이 소회되서 이완화(Dephasing) 되므로 T_1 시간이 T_2 보다 길다고 할 수 있다.

(4) Chemical Shift

같은 종류의 원자핵이라고 하더라도 원자핵의 특수한 화학적 환경(애들 들이 분자내에 결합하고 있는 물리적나 화학 분위기)에 따라 분자 주위수액 위치 함 변화가 있다. 이것을 Chemical Shift 라고 한다. 이 Chemical Shift는 Spin density, T_1 , T_2 와는 다른 별도의 Parameter가 될 수 있다.

즉 수소 원자핵을 기준으로 할때 만약 우리 몸속의 여러 장기에 분포하고 있는 수소 원자핵의 코어 주위수액 분위기로 측정할 수 있다면 분위에 따라 수

Table 2. Examples of N.M.R. tissue in 0.15 Tesla.

Tissue	T_1 (mSec)	T_2 (mSec)	Spin Density(M/H)
FAT	150	150	10.9
LIVER	250	44	10.0
PANCREAS	275	43	9.7
WHITE MATTER	300	133	11.0
SPLEEN	400	107	10.4
KIDNEY-CORTEK	400	70	10.3
KIDNEY-MEDULLA	650	170	10.8
MUSCLE	450	64	11.0
GRAY MATTER	475	118	10.5
BLOOD	525	251	10.0
CSF	2,000	250	10.8

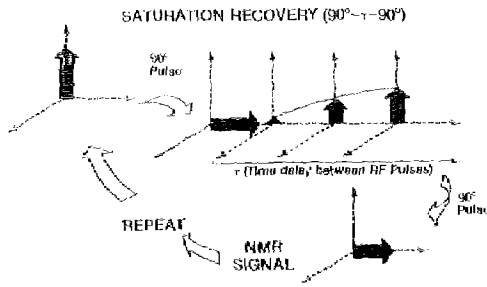


Fig. 10. Schematic drawings of Saturation Recovery.

조각기의 화학적 환경이 다르므로 공명 주파수의 미세한 변화를 나타낸 것으로 Chemical Shift의 종류다. 미화에 따라 Gray Scale을 부여하여 임의적으로 Mapping하면 조직의 화학적 환경의 미세한 양상을 얻을 수 있으나 이것을 Chemical Shift 영상이라 보지 못한다. 경우에 따라 이 Chemical Shift 영상을 Spin density, T_1 , T_2 를 이용한 재해석 재구성법 등으로 표현할 수 없었던 것을 표현할 수 있게 되었을 뿐만 아니라 진해되고 있다. 그러므로 이 Chemical Shift 다음에 이야기 할 자기공명 분광법(MR Spectroscopy)의 기본이 된다.

3) MR Parameter의 측정기법

지금까지 Spin density, T_1 , T_2 가 교차점 재구성 방법의 적용이 점차로 지출해왔다. 그러나 Y축 방향의 Receiving coil에서 추출되는 Signal 자체만으로는 영에서 설명한 3가지 정도의 Signal이 추출하므로 Signal에서의 각각의 기여도를 파악할 수 없고 따라서 조직학적 특성을 알아낼 수 없다. 그러므로 자기공명 진해술에서는 추출되는 Signal에서 Spin density, T_1 , T_2 각각의

기여도를 파악하여 조직의 특성을 표현하기 위하여 일반적으로 다음의 3가지 측정기법을 사용하게 된다.

(1) 포화 회복(Saturation Recovery)

90° 고주파 후 영동 재회기 Y축으로 이동하면 이 때부터 발생되는 F.I.D.의 Signal은 Receiving coil에서 검출할 수 있다. 그러나 일정시간후 T_1 Relaxation에 의한 Z축으로 생길 재회기의 양은 Z방향으로 Receiving coil이 없으므로 측정되지 않는다. 있는 까닭에 Signal이 있으므로 T_1 Relaxation의 정도(일정시간후 Z방향으로의 재회)를 측정하는 것은 불가능하다. 따라서 포화 회복 방법에서는 일정시간 간격으로 계속 90° 고주파를 반복하여 그 때마다 Y축으로 나타나는 F.I.D.의 초기값을 반복해서 측정함으로써 T_1 Relaxation의 정도를 파악하는 방법이다. (Fig. 10) 다시 설명하면 첫 번째 90° 고주파 이후 즉부터 30° 고주파를 줄어 들인 채 90° 고주파를 취하여 발생하는 F.I.D.의 초기값은 첫번째 고주파와 두번째 고주파 사이에 자기차량량 탈락하는 종어위(Longitudinal Relaxation)의 양에 따라 결정될 것이다. 이거에서 고주파를 끊어 주는 시간 간격을 Repetition time(TR)이라 하는데 T_1 의 값과 TR을 임의로 하면 그에 따라 연속해서 나타나는 F.I.D.의 초기값의 변화는 다양해진 것이다. 따라서 보통 256회 반복의 90° 고주파 펄스를 TR 간격으로 반복하면서 그 때마다 나타나는 F.I.D.의 값을 Y축에서 검출하면 이 Signal의 크기의 변화하는 정도는 공정의 Spin density와 T_1 에 의존하게 되며 TR을 조절함으로써 그 정도를 파악할 수 있게 된다. 만약 TR의 값은 짧게(300~500 mSec) 두면 비교하고자하는 두 물질 영상의 흡화도의 차이가 (High Signal일수록 회색 나타날) T_1 의 차이가 강조되어 나타내게 되고 (2가 짧은 물질이 high signal, 긴 물질이 lower signal) TR을 아주 길게하여 T_1 이 긴 물질이나 T_1 이 짧은

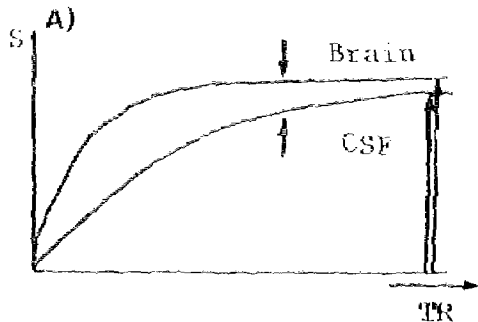
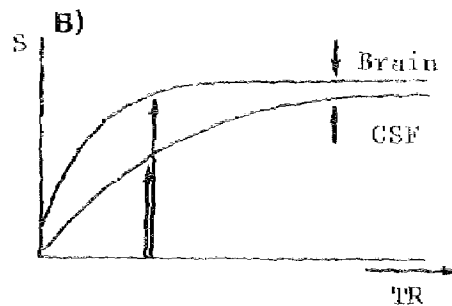


Fig. 11. A: Long TR in S.R.



B: Short TR in S.R.

물질이나 모눈 100%에 가까운 자화를 회복 (100% 가까운 Longitudinal Relaxation) 한후 다음 90° 고주파 펄스를 주게되면 완전히 Spin density에 의존하는 영상을 나타내게 된다. 이기에서 전자를 T₁ 강조 영상(T₁ Weighted Image)라고 이야기하고 후자를 Spin density 강조영상(Spin density weighted Image)라고 한다. 예를 들어보면 일반적으로 뇌의 T₁은 뇌척수액의 T₁보다 짧고 뇌의 M Spin density는 뇌척수액보다 높다. 만약 TR이 아주 길면 뇌실질이나 뇌척수액내의 수소원자핵이 모두 원래의 자화가 거의 회복된 상태에서 다음 90° 고주파 펄스를 받게 되고 뇌실질과 뇌척수액의 신호강도는 T₁ 및 T₂의 효과가 거의없이 단순히 Spin density에 의존하게 되고 양자의 대조도가 떨어진다. (Fig. 11 A) 반면 뇌실질과 뇌척수액의 평균 제자화량이 최대로 떨어졌을때 다음 90° 고주파 펄스를 반복하면 T₁이 긴 뇌척수액은 Signal이 낮아지 겠게 T₁이 짧은 뇌실질은 Signal이 높아져서 회계 나타남으로 양자의 대조도는 TR이 아주 길때보다 좋아진다. (Fig. 11-B)

일반적으로 TR의 값은 T₁보다는 짧게 T₂보다는 길게 잡는 것이 상례이며 Table 2에서도 보는 바와 같이 T₁ T₂에 비하여 Spin density는 물질에 따라 큰 차이가 없으므로 Spin density 강조 영상 (Spin density Weighted Image)은 그 대조도 (Contrast)가 떨어진다.

(2) 완전 회복(Inversion Recovery)

완전 회복은 호화 회복과 비슷하다 이위시각과 신호강도 차이의 Dynamic Range를 2배 늘림으로써 T₁의 효과를 극대화시키는 방법이 라고 할 수 있다. (Fig. 12) 90° 고주파 펄스를 가하기 전에 90° 고주파 펄스보다 2배 긴 시간동안 같은 고주파를 주면 평균 자화는 180° 반대 방향으로 만전되고 이때

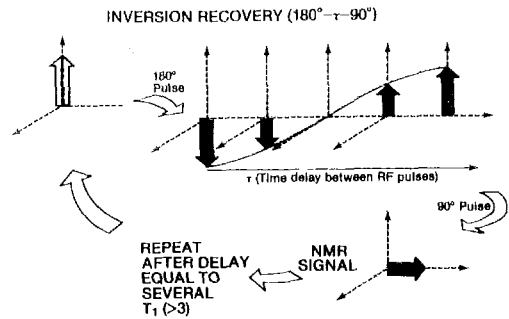


Fig. 12. Schematic drawings of Inversion Recovery.

부터 이위시 시작된다. 그리고 일정 시간후(일반적으로 T₁보다 짧게) 90° 고주파를 부여하면 이때 나타나는 F.I.D의 초기값은 180° 고주파 부여때부터 90° 고주파 부여때까지의 종이상 (Longitudinal Relaxation)에 의존하게 되고 이것을 일축으로 반복할때 F.I.D. 값의 변화 형태를 영상화 하는 것이다. 두 물질을 비교할때 완전 회복의 경우 미리 180° 고주파로 만전시킴으로서 T₁의 효과에 의한 Signal의 차이를 호화회복보다 더욱 강조하여 얻을 수 있다. 이기에서 180° 고주파 펄스로부터 90° 고주파 펄스를 부여하는 시간 간격을 만전시간(Inversion time) 약하여 IR이라 불기하고, 180° 고주파 펄스로부터 다음 180° 고주파 펄스까지의 시간을 Repetation Time(TR)이라 한다. 예를 들어 보면 (Fig. 13) 시간이 경과함에 따라 짧은 T₁의 뇌실질은 많은 원자핵이 제자화되거나 긴 T₁을 가진 뇌척수액은 같은 시간에 소량의 원자핵만이 제자화된다. 일정시간후 즉 뇌실질과 뇌척수액의 평균 제자화의 차이가 최대가 될때 90° 고주파 펄스를 주면 짧은 T₁의 뇌실질은 충분한 원자핵이 다시 공명되어 큰

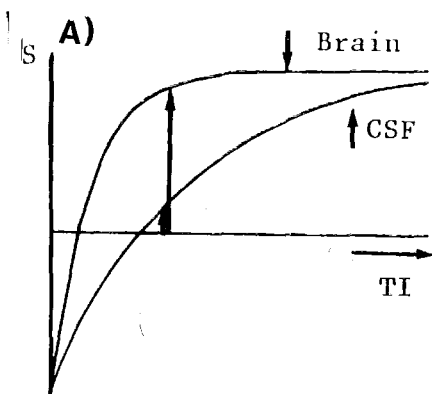
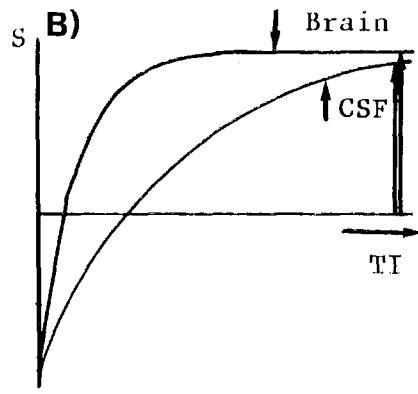


Fig. 13. A : Short TI in I.R.



B : Long TI in I.R.

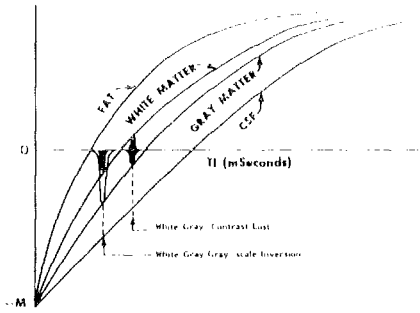


Fig. 14. Contrast lost and Gray scale inversion in I.R.

신호를 레지던 소량밖에 제사화되지 못한 것 T_1 의 되찾아주는 공명되는 원자핵의 양이 적어 작은 신호를 내게 된다. 따라서 T_1 의 효과는 앞서 이야기한 짧은 TR의 코히어런스(SR) 보다 더 크게 나타난다.

그러나 이 방법을 이용할때 T_1 의 값을 일반적으로 관찰하고자 하는 조직의 T_1 의 값에 비하여 너무 짧게 잡으면 Contrast Lost나, Gray Scale Inversion이 있을 수 있다.

Fig. 14에서 보듯이 어느정도의 T_1 치에서는 지방질-척추질-척회질-척추액 순으로 강한 Signal을 나타내지만 T_1 치를 줄이면 척회질과 척추질 사이에 비주파의 조성이 있을 수도 있고 T_1 치를 아주 줄이면 Signal의 크기가 뒤바뀌어 역화색기반질(Gray Scale Inversion) 될 수도 있다는 이야기이다. 이 반전회복 방법은 대조도를 증가시킬 수 있는 장점이 있으나 시간이 많이 걸리므로 임상에서 있으므로 Routine Pulse Sequence 보다는 별로 사용하지 않고 있다.

(3) Spin Echo

90° 고주파 펄스를 부여하면 저장의 불균질성에 의한 T_2 Dephasing에 의하여 신호강도가 급격히 감소하는 F.I.D.의 Signal이 나타난다. 이것을 이미 T_2 이후에서 설명하였다.

포화 및 반전회복 방식에서는 이 F.I.D. 신호를 Y축의 Receiving Coil에서 직접 포착하여 T_1 이후의 정도를 측정하는 방법을 이용했지만 이 방법은 기술적으로 좋은 신호를 포착하기 어렵다. 따라서 90° 고주파를 부여한후 Y축 방향으로 다시 180° 고주파를 부여하여 나타나는 Echo 신호를 잡는 Spin Echo 방식이 요즘 가장 많이 이용되고 있다. 90° 고주파를 부여한 직후 평균 자화() Y축을 따라 움직이게 되며 이때 가장 강한 Signal을 내게 되고(Coherent) 시간이 경과함에 따라 H자상에 극소자장이 계속해서 M Vector 보다 빠르고, 늦게 제사화되는

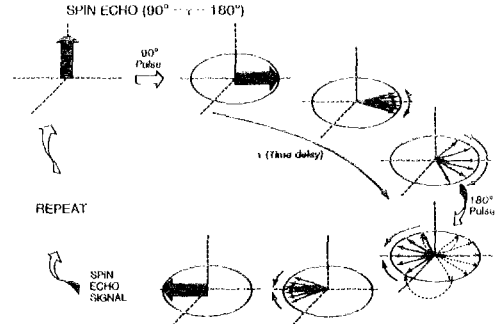


Fig. 15. Schematic drawings of Spin Echo.

group으로 나누어지지 XY 평면상을 회전하면서 흩어진다.(Dephasing) 이때 XY 평면에서 X축에 대하여 180° 의 고주파 펄스를 가하면 순차적으로 Mirror Image로 나타내면서 다시 모이게 되는데 흩어지는 속도가 빨라져 밀리 흩어졌던 원자핵은 빠른 속도로, 흩어지는 속도가 늦어져 가까이 흩어졌던 원자핵은 느린 속도로 다시 모이게 되므로 일정 시간후 XY축 상에서 만나 Coherence를 다시 가지게 되는데 이것을 Refocusing이라고 하고 이때 다시 강한 Echo Signal이 나타나게 되는데 이것을 반분점중하여 영상화하게 된다.(Fig. 15) 이 방법은 90° 고주파 펄스를 먼저 사용함으로써 T_1 이완을 이용한뿐 아니라 XY 평면에서 Dephasing하는 동안 소실된 자화(T_2 이완)를 Refocusing서 Echo Signal로 나타내지 않게 되므로 Spin Echo 기법에서 곱할 때는 Echo Signal은 T_1 과 T_2 를 모두 표현할 수 있게 된다. 이기에서 90° 고주파를 부여하는 간격을 Repetition time(TR)이라고 하고 90° 고주파 펄스 부여시부터 180° 고주파를 준후 Refocusing으로 Echo Signal이 나타날 때까지의 시간을 Echo Time(TE)이라고 한다. 정확히 180° 고주파후 90° 고주파와 180° 고주파 부여시간 차이만큼 후에 Echo가 나타나므로 90° 고주파후 180° 고주파까지의 시간은 $1/2 TE$ 가 된다고 하겠다.

이러한 Spin Echo 방식은 TR과 TE를 다양하게 변화시킴으로서 T_1 강조영상, T_2 강조영상, $T_1 T_2$ 혼합영상 및 Spin density 강조영상 등을 다양하게 얻을 수 있다. 예를 들어 보면 TR을 충분히 길게하면(Fig. 6 A) 되찾아주어 되살린 T_1 치이에 의한 Signal의 변화는 거의 없게 된다. 즉 T_1 이 짧은 것이나 긴 것이나 이미 모두 제사화된 상태에서 다음 90° 고주파 펄스를 받음으로 같다. 모두 충분히 공명되기 때문이다. 그러나 90° 고주파 펄스 부여후 XY 평면상에서의 평균회전은 T_2 의 값에

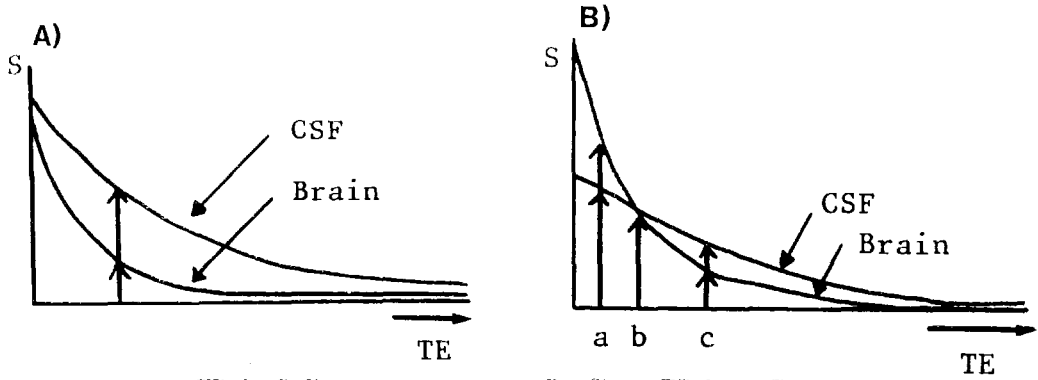


Fig. 16. A : Long TR in S. E.

B : Short TR in S. E.

따라 Dephasing 되는 정도가 다르므로 180° 고주파 펄스 부여후 나타나는 Echo 신호는 T₂ Dephasing으로 소실된 지화량에 따라 상이한 Signal을 나타내게 된다. 즉 뇌척수액과 같은 균질의 액체는 Dephasing이 뇌실질의 만크체보다 상당히 늦으므로 신호강도가 저서히 감소하여(Long T₂) 일정시간 후 180° 고주파 펄스를 부여하면 비교적 큰 Echo Signal을 얻을 수 있고 뇌실질은 신호강도가 빨리 감소하여(Short T₂) 비교적 작은 Echo Signal을 얻을 수 있다. 따라서 일정시간 후(적절한 TE) 이들의 신호차이가 클때 Signal을 검출하면 뇌척수액은 고신호 강도를 보이고 뇌실질은 그보다 저신호 강도를 보인다. 따라서 TR이 충분히 길때는 T₂와 TE에 의존(dependent)하여 영상이 나타나게 되는 것이다. 반면 TR이 충분히 길지 못하다면(Fig. 16-B) 처음 90° 고주파 펄스 부여후 Y축에 나타나는 자화의 양이 T₁에 따라 변화가 심하기 때문에 각 조직의 신호 강도는 TE의 길이에 따라 크게 좌우된다. 즉 TR이 상대적으로 짧으면 다음 90° 고주파를 가할때 T₁이 짧은것은 충분히 제자화된 상태에서 공명되고 T₂ 이완을 시작하나 T₁이 긴것은 일부만 제자화된 상태에서 T₂ 이완을 시작하므로 뇌실질과 뇌척수액을 비교할때 T₁, T₂가 다함께 긴 뇌척수액은 T₁, T₂가 짧은 뇌실질과 서로 교차점(Cross over point)을 가지게 된다. 만일 TE를 짧게 잡으면 뇌실질이 고신호 강도를 나타내고 TE를 길게 잡으면 뇌척수액이 고신호 강도를 나타내게 된다. 이론상으로는 b점에서의 TE로 신호를 잡으면 뇌척수액과 뇌실질을 구별할 수 없게 되는 것이다. 따라서 TR이 충분히 길지 않으면 영상은 T₂보다는 T₁에 더욱 의존하게 되고 TE의 효과가 TR이 충분히 길때보다 더욱 커진다고 할 수 있다. 만약 TR과 TE를 모두 짧게 잡으면 짧은 T₁을 가진 조직이

High Signal로 나타나게 되어 T₁ 강조영상(T₁ Weighted Image)이 되고 TR과 TE를 모두 길게 잡으면 긴 T₂를 가진 조직이 High Signal로 나타나는 T₂ 강조영상(T₂ Weighted Image)을 얻게 된다. 이 T₁ 강조영상, T₂ 강조영상이라는 용어는 TR 및 TE의 길이나 자장의 강도 등에 따라 T₁과 T₂가 영상을 나타내는데 필요한 비중이 각각 다르므로 임의되는 부정확한 용어이나 어떤 Pulse Sequence를 기술하는데 편의상 자주 사용하고 있다. CT와 비교할때 CT는 비록 다양한 window setting을 시도하여 왜곡하더라도 축회도를 만전시킬 수는 없으나 자기공명 영상은 반전 회복과 Spin Echo 기법에서는 Pulse Sequence를 조절하여 축회도의 만전까지도 조래할 수 있을만큼 다양한 영상을 얻을 수 있으므로 Pulse Sequence에 따른 축회도의 변화를 관찰함으로써 그 조직의 성질을 더욱 상세히 파악할 수 있다 하겠다.

4) 영상 기법

지금까지 기술한 방법으로 검출된 정보는 T₁, T₂ Spin density 모두를 표현하고 있기는 하나 피사체의 각 부분을 점과 점으로 나타내는 정보만 아니라 피사체 전체를 나타내는 정보만 파악된다. 따라서 이 정보를 피사체 각 절점에서 나타내는 Signal로 분리하여 3차원의 입체로 구성해야만 관찰하고자 하는 단면의 2차원적인 표현 영상을 얻을 수 있다. 이 영상기법은 자기공명 영상의 장점의 하나인 혈류(Blood flow) 같은 움직임은 물체의 영상화에 영향을 미칠 수 있으므로 간단히 기술하기로 한다.

이 영상기법에는 몇가지 방법이 있으나 대개 1단계로 관찰하고자 하는 단면을 Gradient Coil을 이용하여 선택한후 2단계로 몇가지 방법으로 단면을 2차원적으로 구성하게 된다.

(1) 영상 단면의 선택

원자 핵 자기장을 지시계의 자침을 통하여 균일하게 적용한다면 Z 자침의 크기와 수소 원자핵에 포함된 러모의 수회수로 공명을 작정해 전 지시계가 균일하게 되어 각 단면을 구별할 수 없게 된다. 따라서 영상의 단면을 선택하기 위하여 균일한 외부자장에 첨가하여 비교적 약한 자장강도의 Gradient Coils를 설치함으로써 관찰하고자 하는 단면마다 자침의 크기를 다르게 하면 단면마다의 공명수회수도 달라질 것이며 동일한 공명수회수로 공명시키면 각각의 단면에서만 Signal을 얻을 수 있을 것이다. (Fig. 17) 이렇게 하여 단면을 선택할 수 있다.

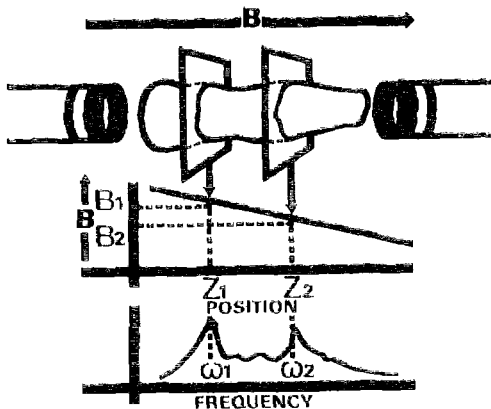


Fig. 17. Selection of plane using Gradient Coil.

(2) 단면 영상의 2차원적 구성

일단 Z방향으로 Gradient Field를 가하여 단면은 선질화후 Z 단면을 2차원적으로 영상구상 하는데 일반적으로 2가지 방법이 사용되고 있다.

첫째 방법은 CT에서 영상의 재구성에 이용했던 방법과 비슷하게 회자체에 대하여 Magnetic Field

Gradient를 첨가적인 방법으로 회전자침으로서 회자체의 여러가지 방향에서 충분한 수의 1차원적인 통합정보(Summation data)를 얻은후 이것은 Computer를 이용하여 각 점간의 Signal을 분리하여 획득하는 방법이 있고 또 회자체 방법은 2차원적인 Fourier Transform이라는 수학적 알고리즘을 이용하는 방법으로 거기에 전장된 Z축 방향의 자침의 기울기와 아울러 X축에 Y축 방향으로도 자침의 기울기를 주어 회자체를 점지적으로 분리하면 한 평면상의 각 지점에서 나오는 수소 원자핵의 진동은 각 주파수(Frequency)와 위상(Phase)이 다르게 된다. 즉 Y축에 Phase Encoding Gradient라는 자침의 기울기를 주었다 뿐이던 Y축의 각 선상에 있는 원자핵은 각각 회전속도가 달라짐으로 Y축의 선상에 있는 원자핵은 각각 다른 위상(Phase)의 진동을 나타내지만 각 선에 따라 원자핵들은 다른 위상 진동을 낼 것이다. 여기에 Y축으로도 외부자장의 크기를 점지적으로 변화시키면 Frequency Encoding Gradient를 가하면 X축 선상에 있는 원자핵의 회전 속도는 X축 선마다 다르게 될 것이다. 다시 말하면 어떤 단면의 각 선에서 나오는 진동은 각각 위상과 주파수가 다르게 된다. 이것을 Fourier transform의 과정으로 처리하면 각 점들에서 나오는 진동의 강도를 분리할 수 있게 되어 공간적으로 나타내주게 된다. (Fig. 18) 이러한 자기공명 영상기법의 응용으로 CT가 Gantry로 돌아갈 수 있는 방향으로만 횡단면 영상(Cross Sectional Image)이 가능하리 문종의 Coronal 영상이나 인체 모든 부위의 직접적인 Sagittal 영상의 취득은 불가능한데 비하여 자기공명영상은 인체 모든 부위나 정확한 Axial, Coronal, Sagittal, 모든 영상이 가능하기 때문에 CT보다 우월한 인체적 해상력을 가질 수 있다 하겠다.

2. 자기공명 영상장치의 기본구성(Hard Ware)

(1) 지석 장치(Magnet System)

공명을 일으키기 위해서는 우선 주자장을 형성해 주어야 하며 흔히 자장의 크기에 따라 고자장과 저자장으로 구분한다. 자침의 크기를 표시하는 단위로 SI 단위인 Tesla를 최근 많이 사용하는데 1Tesla는 CGS 단위로 환산할때 10^4 Gauss에 해당한다. 고자장은 저자장에 비하여 진동대 잡음비(Signal/Noise Ratio)가 높고, 영상의 해상력이 높으며 진동의 주기를 짧게 하여 보다 세밀히 관찰할 수 있고, 촬영시간이 짧은 동시에 자기공명 방법의 적용이

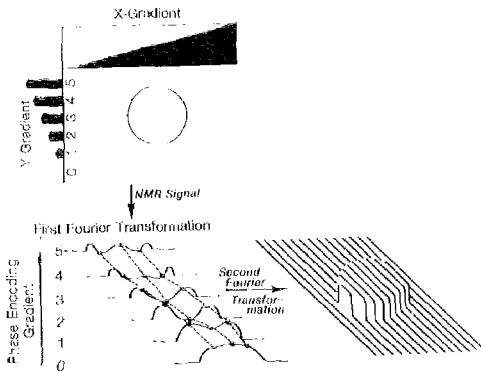


Fig. 18. Two dimensional Fourier imaging.

가능하고 수소 원자핵 이외의 원자핵을 이용한 검사가 가능한 장점이 있는 반면에 비용이 많이 드는 단점이 있다.

고자장과 저자장의 분류는 특정한 경계가 있는 것이 아니며 점점 적용하는 자장의 강도가 커지는 경향이 있다. 1982년 시회적용시만 해도 0.5 Tesla를 고자장의 범주에 포함시킬 수 있었으나 최근에는 1.5 Tesla 이상을 고자장의 범주에 포함시키고 있고 자기공명 진단술의 결정적인 정점인 자기공명 분광법을 위하여서는 대략 1.5 Tesla 이상의 고자장이 필요하다. 또한 주자장을 형성하는 장치에 따라 자기공명 진단기기를 분류하기도 하는데 다음과 같은 3가지가 있다.

(1) 영구자석(Permanent Magnet)

말 그대로 전기 등을 이용하지 않은 거대자석이 들어 있다고 생각하면 된다. 전기를 공급할 필요가 없어 운영비가 적게 드는 장점이 있으나 약 0.3 Tesla까지 자장의 강도가 제한되어 있고 변화시킬 수 없으며 규격이 너무 크고, 자장의 불균등성을 보정하기 위한 제어(Shimming)에 어려움이 있어 최근에는 별로 이용되고 있지 않다.

(2) 상 전도형 자석(Air-Core Resistive Magnet)

상온에서 금속 코일에 전류를 흘려서 자장을 만드는 것으로 전기저항 때문에 부한정 자장의 강도를 높일 수 없고 일반적으로 0.2 Tesla 미만까지만 가능하다. 전력의 소모는 많으나 이 System은 저온 장치를 채택하지 않아 상대적으로 특별한 기술요원의 필요성이 높지 않으므로 자기공명 분광법을 하지 않는 간단한 자기공명 영상에는 아직 유용하게 사용되고 있다.

(3) 초전도형 자석(Air Core Superconducting Magnet)

액체 헬륨(Liquid Helium)과 액체 질소(Liquid Nitrogen)를 이용하여 코일의 온도를 절대온도 즉 Zero Kelvin(0°K) 혹은 -273°C 이하로 낮추어 전기저항을 없앤 것으로 2.0 Tesla까지 강한 자장을 만들 수 있다. 전력의 소모는 상 전도형보다 적으나 고가의 액체 헬륨의 소모로 운영비가 많이 들고 선지가 복잡하다. 그러나 저항형과는 달리 양자 영상을 위하여 적합하게 자장 변화를 만들어 간단하고 빨리 영상을 제공할 수 있다. 또한 자기공명 분광법과 수소 이외의 원자핵을 이용한 검사를 위하여 1.5 Tesla 이상의 자장을 얻기 위하여는 반드시 초전도형 자석이 필요하므로 점점 초전도형 자석을 이용한 자기공명 진단기기의 보급이 늘어나고 있다.

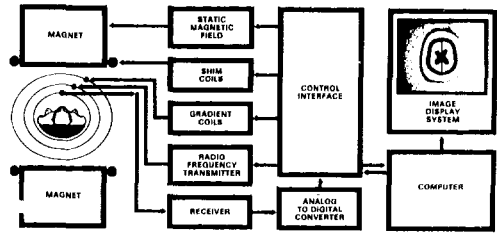


Fig. 19. Schematic drawings of N.M.R. Scanner Instrument.

2) 경사자장 장치(Magnetic Gradient System)

Signal의 입체적인 분석을 위하여 주자장 이외에 주자장에 비하여 비교적 작은 강도의 경사 자장을 중첩 설치한다. 전술한 바와같이 그 방향으로 단면선정을 위한 Gradient Coil을 설치하고 단면의 2차원적인 구성을 위하여 Y방향의 Phase Encoding Gradient Coil, X방향의 Frequency Encoding Gradient Coil이 설치된다.

3) 고주파 발진 장치(RF transmitter) 및 수신 장치(RF receiver)

원자핵의 여기 혹은 공명을 위한 고주파 발진 코일은 수신 코일과 별개로 사용할 수도 있고 겸용으로 사용할 수 있다. 일반적으로는 원자핵의 이완시에 방출되는 고주파를 포착하는 수신코일을 발진코일과 겸용하는 경우가 많으나 인체표면에 가까운 병소의 해상력을 높이기 위하여 고주파 수신 전용코일인 Surface Coil을 이용하기도 한다. 이 Surface Coil은 척추 사지 안와 두경부 유방 등의 국소적인 부위에 더욱 세밀한 영상을 얻기 위한 것으로 고전적인 방사선 진단에서 Spot film과 비슷한 효과를 자기공명 영상에서 얻는 것이라고 생각하면 되겠다.

4) 컴퓨터

초음파나 CT 등 다른 영상진단에서와 마찬가지로 자기공명 진단 역시 영상의 재구성 고주파 Pulse-Gradient Sequence 등 모든 System의 기능을 총괄장하기 위하여 컴퓨터의 역할이 필수적이다.

5) 자장 차단 장치(Magnetic Shield)

좋은 자기공명 영상을 얻기 위해서는 균일한 자장이 절대적으로 요구된다. 따라서 외부에서 자기공명 장치내의 자장 특히 Gradient field에 대한 영향을 극소화하기 위한 설비이며 이 자장의 차폐에는 철판이 이용된다. 또한 자기공명 장치에서 나오는 고자장이 외부에 미칠 수 있는 영향도 아울러 고려하여야 한다. (이상 Fig. 19)

6) 코어와 차단 장치(RF Shield)

정확한 공명을 위하여 외부에서 들어오는 모든 코어 외부를 차단하는 선미로서 자기공명 검지선 밖에 설치한다. 자기공명 검지선에서는 탄파(FM) 방출이 들리지 않을 정도이어야 한다.

7) 조영제

일반한 의미로 Hardware에 포함되는 내용은 아니나 여기에서 설명하기로 한다.

CT에서와 마찬가지로 자기공명 영상에서도 조영 증강을 위하여 여러가지 물질이 사용되고 있으며 이중 친자성 물질(Paramagnetic Material)로서 Gadolinium DTPA가 정맥 조영제로서 주로 이용되고 있다. 체중 kg당 0.1mmol의 Gadolinium DTPA를 정맥 주사후 Post Contrast MR을 촬영하면 T₁과 T₂의 탈락으로 인하여 조영 증강이 되며 그 기준은 CT의 그것과 같이 Blood Brain Barrier의 파괴에 의한 것으로 알려져 있다.

3. 자기공명 분광법(MR Spectroscopy)

1946년 미국의 Bloch와 Purcell이 핵자기 공명 현상을 이용하여 분자 단위의 물리학적 화학적 특성을 분석하여 노벨 물리학상을 받은 이래 자기공명 진단술은 물리학 및 화학 등의 분야에서 주로 물질의 분광학적 평가의 표준 방법으로 부각되었고 주로 생체 이외의 물질 분석에 사용되었다. 이를 응용하여 생체내에서 직접적으로 채어하는 물질들을 생체외로 추출하여 검지함으로써 세포의 기능을 지해시키거나 민화시키지 않고 생체내에 그대로 존재 자기공명 현상을 이용하여 세포내 분자단위의 직접검사에 채어

하는 물질들을 분석하고자 하는것이 자기공명 분광법이다.

공명기능을 가진 특정한 원자핵중 임의의 1가지 원소를 선택하여 체내 각 부위에서의 그 원자핵의 화학적 환경을 관찰함으로써 일체 조직의 분자 단위의 성분 및 화학적 변화를 계속하는 것이다.

이 자기공명 분광법의 기본원리로 전술한 바 있는 Chemical Shift를 보다 상세히 기술하자면 특정 원자핵의 공명주파수는 원자핵 코일의 Gyromagnetic Ratio와 주위 자장의 크기에 의존한다고 이야기했다. 그러나 전제되는 분자내에서 그 원자핵의 결합부위와 결합물질에 따라 전자 케드내 Magnetic Shielding Effect 라는 것에 의하여 공명 주파수에 미세한 차이가 있게 된다. 이것을 Chemical Shift라고 하고 이 Chemical Shift 현상은 분자내에서 특정 원자핵의 결합상태를 분석하는 것을 가능하게 한다. 즉 같은 수소원자핵이라 하더라도 물질에 있는지, 뼈속에 있는지, 양성종양의 조직속에 있는지, 악성종양의 조직속에 있는지 등을 구별한다는 이야기이다. 이 Chemical Shift의 크기는 외부자장의 크기에 영향을 받게되며 Chemical Shift의 단위는 기준물질의 공명주파수에 비교한 Parts Per Million(ppm)으로 표시하는데 그 공식은 다음과 같다.

$$p.p.m = \frac{\omega_1 - \omega_0}{\omega_0} \times 10^6$$

ω_0 : 비교의 기준이 되는 물질의 Larmor frequency

ω_1 : 비교하고자 하는 물질의 Larmor frequency

Fig. 20에서의 예를 보면 물분자 속의 수소 원자핵의 공명 주파수를 0.35 Tesla에서 Aliphatic Carbon Chains(-CH₂-)_n 내의 수소원자 핵과 비교한다면

$$ppm = \frac{(15.000050 - 15.0) MHz}{15.0 MHz} \times 10^6 = 3.3$$

즉 3.3ppm의 Chemical Shift가 있게 된다. 이런 Chemical Shift에 의하여 체내 구성물질의 성질을 파악하는 자기공명 분광법은 자기공명 영상진단의 의미를 더욱 증가시켜 주고 있으며 에너지 혹은 임의 배사를 보기 위하여 ³¹P, 지방, 물의 배사를 보기 위하여 ¹H, 탄소 및 뼈의 변화는 보기 위하여 ¹³C, 전해질 변화를 보기 위하여 ²³Na 등 각각 다른 원자핵들을 이용함으로써 분자구조와 상호작용을 알아내기 위한 수단으로 활발히 연구가 진행되고 있다

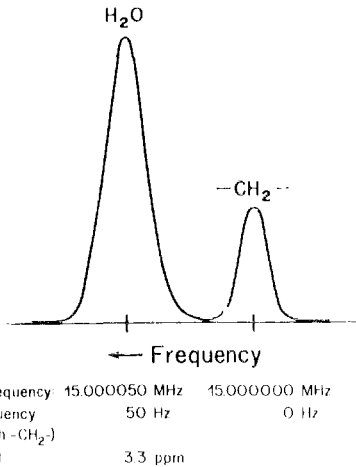


Fig. 20. Water and Methylene; Proton resonance at 0.35 Tesla.

결 론

최근학대 자기공명 진단은 Roentgen 시대 방사선 진단 분야의 큰 혁명이며 현재에도 각종의 Software 와 Hard ware 가 발전하고 있고 임상사용이 늘어남에 따라 획기적인 보고들이 나오고 있다.

최근 들은 자기공명 진단술의 유용성을 확신하여 이제 이해는 쉽지가 위하여 증례의 CT와 비교하여 자기공명 영상진단의 일반적인 장단점을 서술하고 향후 자기공명 진단의 발전 방향을 이야기함으로써 결론을 맺을까 한다.

우선 CT에 비교한 자기공명 영상의 장점을 조직의 질감에 근거한 영상을 얻을 수 있으며, CT에서는 Gantry에 들어가는 1가지 횡단면으로만 양질의 영상을 얻을 수 있는데 비하여 자기공명 영상에서는 3차원, 여러 방향으로도 양질의 영상을 얻을 수 있다. CT에서는 1가지 축도(X-선 흡수계수)에 근거한 영상을 1가지 필름(Window setting) 만으로 조직 판별할 수 있는데 비하여 자기공명 영상은 여러 가지 축도(T₁, T₂, Spin density, Chemical Shift)에 근거하여 여러가지 방법(다양한 TR, TI, TE)으로 영상을 얻을 수 있으며 혈류 등 움직이는 물체의 속도와 방향에 따른 영상적 파악이 가능하고 동시에 여러 횡단면을 검사하는 것도 가능하다. 그리고 무엇보다도 특화된 장점은 자기공명 분광법으로 화학적 상태의 파악이 가능하다는 점이 되겠다. 반면 CT에 비하여 MR 진단의 단점을 살펴보면 우선 비용이 많이 들 뿐 아니라 Scanning에 필요한 시간이 CT보다 많은 점 때문에 CT에 비해 하루에 촬영할 수 있는 환자수가 훨씬 적다는 점이다. 이것은 병원의 수지 타당성을 고려할때 자기공명 영상기기의 확보를 보급에 다소 영향을 미칠 수도 있을 것이다. 또한 강한 자장이 형성되므로 Scanning 중 중환자의 Care가 불가능하므로, 급속성 장치를 몸에 지니고 있는 환자 등에서 적용이 불가능하고 환자의 움직임에 따른 해상도 감소가 CT에 비해 다소 큰 점 등은 자기공명 영상진단의 단점이라 하겠다. 향후 자기공명 진단의 발전 방향으로는 보다 양질의 자상과 고주파 필스를 부여할 수 있는 기술적인 발전과 Scanning Speed를 보다 빨리한다는 것 Motion artifact의 문제가 되는 호흡을 TR, TE에 적절히 gating함으로써 Artifact를 줄일수있지, 재촬영하고자 하는 상황이 적지않 Pulse Sequence의 개발 및 보급적용, 수소원자핵 이외의 원자핵을 이용한 자기공명 진단 및 Chemical Shift 영상의 발

진, 보다 양질의 Contrast media의 발달 등의 예견되고 있고 현재에도 일부 적용되고 있다.

참 고 문 헌

1. Andrew A.M., Sadek, K.H., Howard, E.S., Stefan, W. : *In vivo spectroscopic imaging with P-31.* Radiology 153 : 745~750, 1984.
2. Brateman, L. : *Chemical shift imaging-A review.* A. J. R. 146 : 971-980, 1986.
3. Dixon, W.T. : *Simple proton spectroscopic imaging.* Radiology 153 : 189-194, 1984.
4. Hams, T.W., Robert, C.B., Wolf, R.P., George, E.W. : *Characteristics of Gadolinium-DTPA complex.* A potential N.M.R. Contrast media, A. J. R. 142 : 619-624, 1984.
5. Isabelle, B., Michael, B.Z., Luci, O., Robert, B., Judith, M., David, N., Thomas, H.N. : *Gd-DTPA in clinical M.R. of brain.* 2. Extraxial lesion and normal structure. A. J. N. R. 7 : 789-783, 1986. 9
6. Johnson, M. A., Steiner, R. E. : *Present status of clinical N.M.R.* Postgraduate Radiology 5 : 5-39, 1985.
7. Michael, B.Z., Isabelle, B., Luci, O., Robert, B., Judith, M., David, N. : *Gd-DTPA in clinical M.R. of brain.* 1. Intraxial lesions. A. J. N. R. 7 : 781-788, 1986.
8. Mun, S. K. : *Operating magnetic field strength for nuclear magnetic resonance imaging.* Radiographics 44-47, 1984.
9. Pykett, I. L. : *Principles of nuclear magnetic resonance imaging.* Radiology 143 : 157-168, 1982.
10. Pykett, I. L., Rouson, B. R. : *Nuclear magnetic resonance in vivo proton chemical shift imaging.* Radiology 149 : 197-201, 1983.
11. Robert, E. S. : *Magnetic resonance imaging : Ms impact on diagnostic Radiology.*

- A. J. R. 145 : 883-893, 1985.
12. Steiner R. E. : Magnetic resonance image : Its impact on diagnostic Radiology. A. J. R. 145 : 883-893, 1985
 13. Steven, E. H., Tommie, J. M., William, S. Y., Thomas, S. H., Gerald, D. D. : Principles of nuclear magnetic resonance imaging. Radiographics 26-43, 1984.
 14. Val, M. R., Jeffrey, A. C., William, A. H., S. Julian G., Ann, C. P., C. Lew P., A. Everette J. : Intravascular contrast agents suitable for magnetic resonance imaging. Radiology 153 : 171-176, 1984.
 15. William, P., Metedith, W., Michael M. : Pulse sequence and significance. Radiographics 49-55, 1984.
 16. W, Hoyt S., Ann, C. P., Val, M. R., Mark, R. M., Robert, G. S., Martin, P. S., A. Everette J. : Nuclear magnetic resonance imaging. Radiographics 5-25, 1984.
 17. Leon, P., A. Everette J., F. David, R., Ronald, R. P. : Nuclear magnetic resonance imaging. W. B. Saunders Co., 1-538, 1983.
 18. 박수성, 김건상, 이관세, 이용철, 박경진, 김진중 : 진단방사선 원리, 대학서림, 600-664. 1985,
 19. 한만정, 김주완, 장기현, 박제형, 최병인, 배상훈, 강홍식, 김재호, 김윤수 : 자기공명 영상, 서울대학병원, 과학기술원, 1-83, 1986.

-Abstract-

Characteristics of Magnetic Resonance(M.R.) and Comprehension of its Imaging Mechanism.

Jae Chun Chang, Mi Soo Hwang, and Sun Yong Kim

*Department of Diagnostic Radiology
College of Medicine, Yeungnam University
Taegu Korea*

Magnetic Resonance(M.R.) is rapidly emerging technique that provides high quality images and potentially provides much more diagnostic information than do conventional imaging modalities.

M.R. I. is conceptually quite different from currently used imaging methods.

The complex nature of M.R. I. allows a great deal of flexibility in image production and available information, and key points are as follows.

1. M.R. offers a non-invasive technique with which to generate in vivo human images without ionizing radiation and with no known adverse biological effects.
2. Imaging mechanism of M.R. I. is quite different from conventional imaging modality and for more accurate diagnostic application, It is necessary for physician to understand imaging mechanism of M.R. I.
3. M.R. makes available basic chemical parameters that may provide to be useful for diagnostic medical imaging and more specific pathophysiologic information which are not available by alternate techniques.
4. M.R. can be produced by number of different methods. This flexibility allows the imaging technique to be applied for particular clinical purpose. Multiplanar and three dimensional imaging may extend the imaging process beyond the single section available with current CT.
5. Future directions include efforts to;
 - a. Further development of hard ware
 - b. More fastenning scan time
 - c. Respiratory and cardiac gated imaging
 - d. Imaging of additional nuclei except hydrogen
 - e. Further development of contrast media
 - f. M.R. in vivo spectroscopy
 - g. Real time M.R. imaging